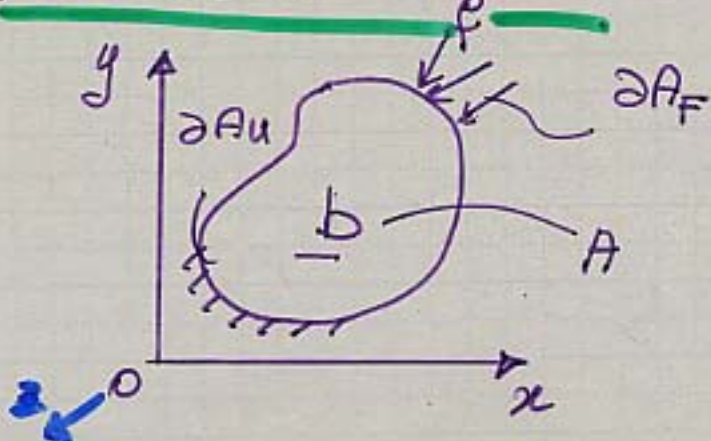


# Problemi Piani di TENSIONE E DI DEFORMAZIONE

- FORMULAZIONE DEL problema pp 1-7
- FUNZIONI DI Airy 8-12
- Contenuti di Trova parte 13-14....
- Funzioni di Airy in coordinate polari  
opp anulari simmetrici
- Il pb di Boussinesque

## • PROBLEMI PIANI

- 1 -



$$A \subset \mathbb{R}^2$$

(L. Corradi vol 1 cap 4)  
pp 215 ...

SIA  $\beta$  un mezzo continuo di forma cilindrica, (costante  
e sia  $A \subset (x,y)$  la sua sezione trasversale  
moltività  
 $z$ )

- Le azioni esterne, sia di superficie che di volume, e del peso  $x, y$  ovvero abbiano componenti nulle secondo  $z$

$$b_z = 0 \quad f_z = 0$$

ed inoltre siano indipendenti da  $z$

$$f = f(x, y), \quad b = b(x, y)$$

la condizione di circolo non dipende da  $z$ .

Formulare lo sol. come pb piano  $\Rightarrow$   
che non variano con  $z$

le variabili indipendenti si riducono a 2

$$\underline{u}^T = (u_x, u_y), \quad \underline{\sigma} = \begin{vmatrix} \sigma_{xx} \\ \sigma_{yy} \\ \tau_{xy} \end{vmatrix}, \quad \underline{\epsilon} = \begin{vmatrix} \epsilon_{xx} \\ \epsilon_{xy} \\ \gamma_{xy} \end{vmatrix}$$

N.B. ma qui è ormai  $u_z = 0$  ( $\sigma$  e  $\epsilon$ )

(\*)

$$\delta_{xz} = \delta_{yz} = 0 \Leftrightarrow \tau_{xz} = \tau_{yz} = 0$$

$$\delta_{zz} = \frac{\partial u_x}{\partial z} + \frac{\partial u_z}{\partial x} = 0 \Rightarrow u_z = \text{Cost} \cdot z \Rightarrow \epsilon_z ?$$

## Eq. di Equilibrio

$$1_A - \begin{cases} \frac{\partial \sigma_x}{\partial x} + \frac{\partial \tau_{xy}}{\partial y} + b_x = 0, \\ \frac{\partial \sigma_y}{\partial y} + \frac{\partial \tau_{xy}}{\partial x} + b_y = 0 \end{cases}$$

## Eq. indefinito

-2-

in A

$$1_B \begin{cases} \sigma_x n_x + \tau_{xy} n_y = f_x \\ \tau_{xy} n_x + \sigma_y n_y = f_y \end{cases}$$

## Eq. di contorno

in  $\partial A_F$

## Eq. di Compatibilità - (rel. deformazioni spostamenti)

$$2_A - \epsilon_x = \frac{\partial u_x}{\partial x}, \quad \epsilon_y = \frac{\partial u_y}{\partial y}, \quad \gamma_{xy} = 2\epsilon_{xy} = \left( \frac{\partial u_x}{\partial y} + \frac{\partial u_y}{\partial x} \right) \text{ in } A$$

$$2_B \begin{cases} u_x = \bar{u}_x & \text{in } \partial A_U \\ u_y = \bar{u}_y & \text{(al bordo)} \end{cases} \quad (\text{nel campo})$$

Le eq. di congruenza interne di  
zich sono otto

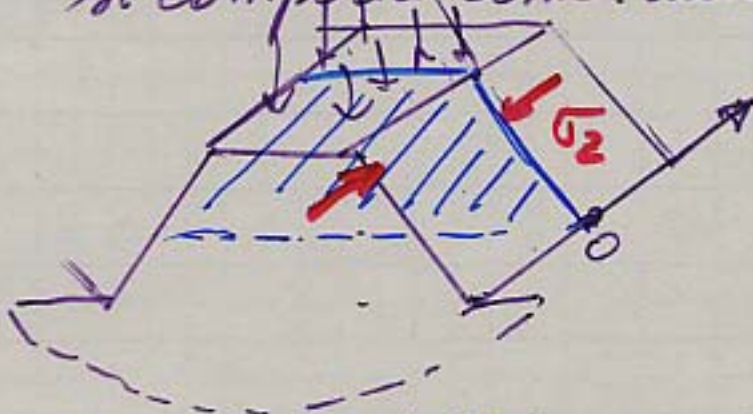
$$\boxed{\frac{\partial^2 \epsilon_x}{\partial y^2} + \frac{\partial^2 \epsilon_y}{\partial x^2} - \frac{\partial^2 \gamma_{xy}}{\partial x \partial y}}$$

• Pb PIANO DI DEFORMAZIONE

$$\begin{aligned} u_z &= 0 \\ \epsilon_z &= \frac{\partial u_z}{\partial z} = 0 \end{aligned}$$

$(\delta_{xz} = \delta_{yz} = 0$  more solto)

- Il che accade nello sez di simmetrie
- In un solido "molto lungo" ogni sez si comporta come una sez di simmetria



Nascono delle tensioni normali  $\sigma_z \neq 0$   $(\text{cost } w_z)$   
che impediscono le def. e gli spostamenti lungo z.  
Le eq. costitutive divengono

$$\left\{ \begin{array}{l} \sigma_x = \frac{E}{(1+v)(1-2v)} [(1-v)\epsilon_x + v\epsilon_y] \\ \sigma_y = \frac{E}{(1+v)(1-2v)} [v\epsilon_x + (1-v)\epsilon_y] \end{array} \right.$$

$$\left. \begin{array}{l} \tau_{xy} = \sigma_y \epsilon_x \\ \tau_{yx} = \sigma_x \epsilon_y \end{array} \right.$$

$$\underline{\sigma} = \underline{\epsilon} E$$

$$\underline{\sigma} = \begin{vmatrix} \sigma_x \\ \sigma_y \\ \tau_{xy} \end{vmatrix} = \frac{E}{(1+v)(1-2v)} \begin{bmatrix} (1-v) & v & 0 \\ v & (1-v) & 0 \\ 0 & 0 & \frac{1-2v}{2} \end{bmatrix} \begin{vmatrix} \epsilon_x \\ \epsilon_y \\ \tau_{xy} \end{vmatrix}$$

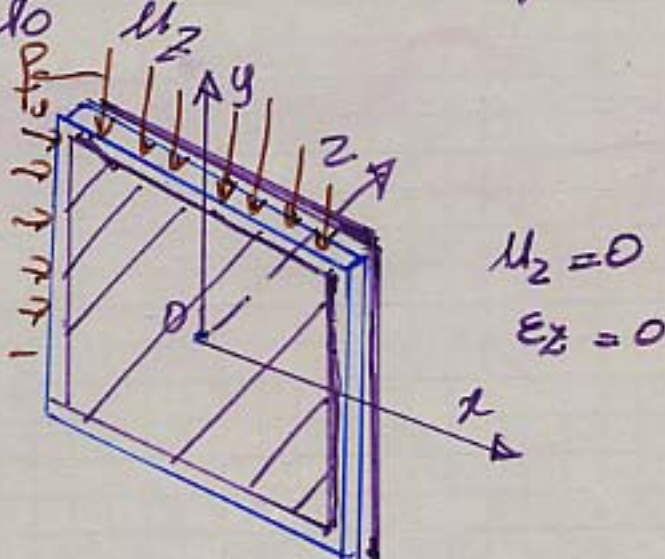
ed inoltre  $\lambda$

$$\sigma_z = \frac{vE}{(1+v)(1-2v)} (\epsilon_x + \epsilon_y) = v (\sigma_x + \sigma_y)$$

Le legge di Hooke  $\Rightarrow \epsilon_x = \frac{1}{E} [\sigma_x - \nu(\sigma_y + \sigma_z)]$   
di conseguenza la presenza di una  $\sigma_z \neq 0$   
influisce il legame costitutivo verso  $E = E^{-\frac{1}{2}}$

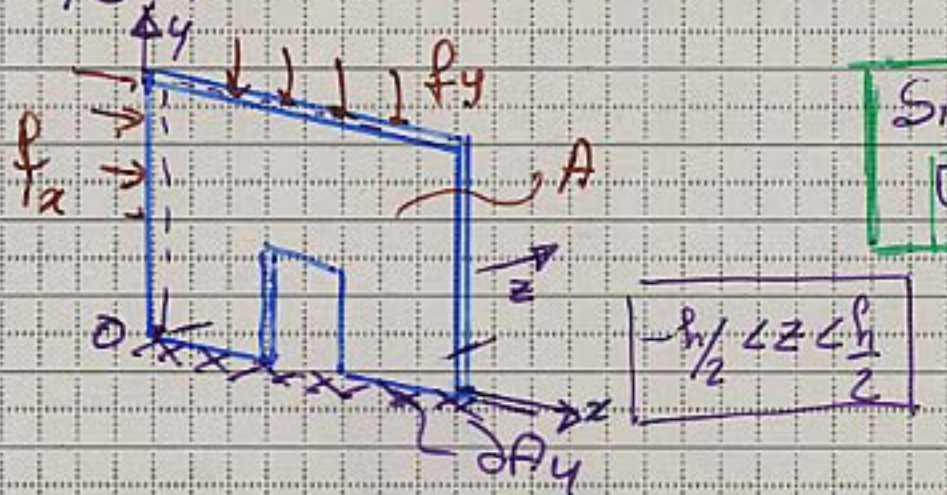
$$\begin{bmatrix} \epsilon_x \\ \epsilon_y \\ \gamma_{xy} \end{bmatrix} = \frac{1+\nu}{E} \begin{bmatrix} (1-\nu) & -\nu & 0 \\ -\nu & (1-\nu) & 0 \\ 0 & 0 & 2 \end{bmatrix} \begin{bmatrix} \sigma_x \\ \sigma_y \\ \tau_{xy} \end{bmatrix}$$

Oltre che nel caso di solidi "soltane" lunghe  
siamo in un caso di soli piani anche  
se il solido è vincolato sulle sezioni  
estreme da vincoli che impediscono lo  
spostamento



$$\begin{aligned}
L_i &= \frac{1}{2} (\sigma_x \epsilon_x + \sigma_y \epsilon_y + \tau_{xy} \gamma_{xy} + \sigma_z \epsilon_z) = \\
&= \frac{1}{2} \underline{\epsilon}^T \underline{\sigma} \underline{\epsilon} = (\underline{\phi} \text{ potenziale elastico}) \\
&= \frac{1}{2} \underline{\sigma}^T \underline{\underline{C}}^{-1} \underline{\sigma} - (\underline{\phi}^c \text{ " complemento})
\end{aligned}$$

# P6 PIANO DI TENSIONE



Si assume

$$\bar{\sigma}_z \equiv 0$$

$$(\bar{\epsilon}_{xz} = \bar{\epsilon}_{yz} = 0)$$

lastre sottili

$$\Rightarrow (\text{Hooke's law}) \Rightarrow \begin{cases} \epsilon_x = \frac{1}{E} (\sigma_x - v \sigma_y) \\ \epsilon_y = \frac{1}{E} (-v \sigma_x + \sigma_y) \\ \gamma_{xy} = \frac{\tau_{xy}}{G} \end{cases} \Rightarrow \frac{\epsilon_z}{z} = -\frac{v}{E} (\sigma_x + \sigma_y)$$

$$\epsilon_z = -\frac{v}{1+v} (\epsilon_x + \epsilon_y)$$

e pertanto

$$\epsilon = C^{-1} \sigma$$

$$\begin{pmatrix} \epsilon_x \\ \epsilon_y \\ \gamma_{xy} \end{pmatrix} = \frac{1}{E} \begin{pmatrix} 1 & -v & 0 \\ -v & 1 & 0 \\ 0 & 0 & 2(1+v) \end{pmatrix} \begin{pmatrix} \sigma_x \\ \sigma_y \\ \tau_{xy} \end{pmatrix}$$

$$\frac{1}{E}$$

il legame diretto si può ottenere direttamente  
per un versore

$$\sigma = C \epsilon$$

$$C = \frac{E}{1-v^2} \begin{pmatrix} 1 & v & 0 \\ v & 1 & 0 \\ 0 & 0 & (1-v)/2 \end{pmatrix}$$

\*\*

$$\frac{E}{1-v^2} \quad (\text{eff. Poisson})$$

$\frac{1}{1-v^2}$  la similitudine non

è libera da dilatarsi

N.B.

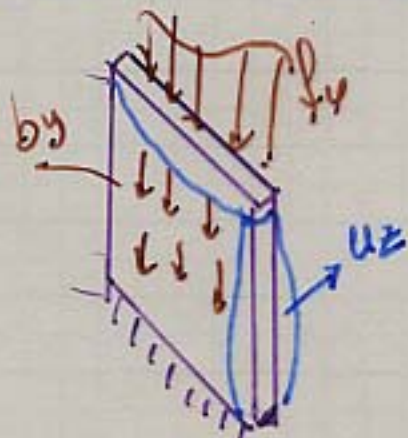
A differenza del pb piano nelle deformazioni il pb piano negli sfoci l'omissione (in generale) solo una soluzione approssimata che verifica l'equilibrio ma non la congruenza, ed è valida solo con riferimento a valori medi delle variabili

Si è visto infatti che le assunzioni tipiche dei pb piani (\*)

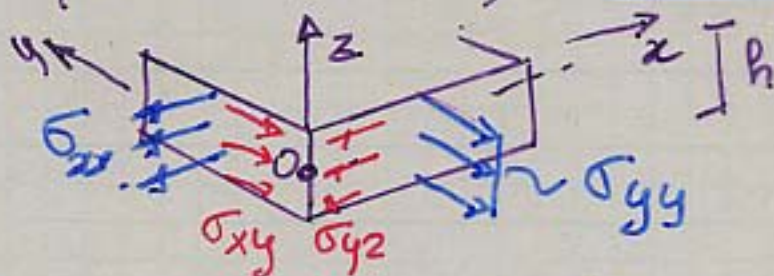
$$u_2 = 0, \gamma_{xz} = \gamma_{yz} = 0 \Rightarrow \begin{cases} \frac{\partial u_z}{\partial x} = 0 \\ \frac{\partial u_z}{\partial y} = 0 \end{cases} \Rightarrow u_z = C_2$$

il che si verifica nel pb piano di deformazione ovvero  $\varepsilon_z = 0 \Rightarrow \epsilon = 0$

mentre nel pb piano di tensione la  $\varepsilon_z = -\frac{v}{E}(\sigma_x + \sigma_y)$  essendo  $\sigma_x$  e  $\sigma_y$  f(x,y) generiche composta la violazione di queste condizioni



In entrambi i pb le variabili indipendenti  $u, \varepsilon, \sigma$  sono (o si assumono) costanti nello spessore.



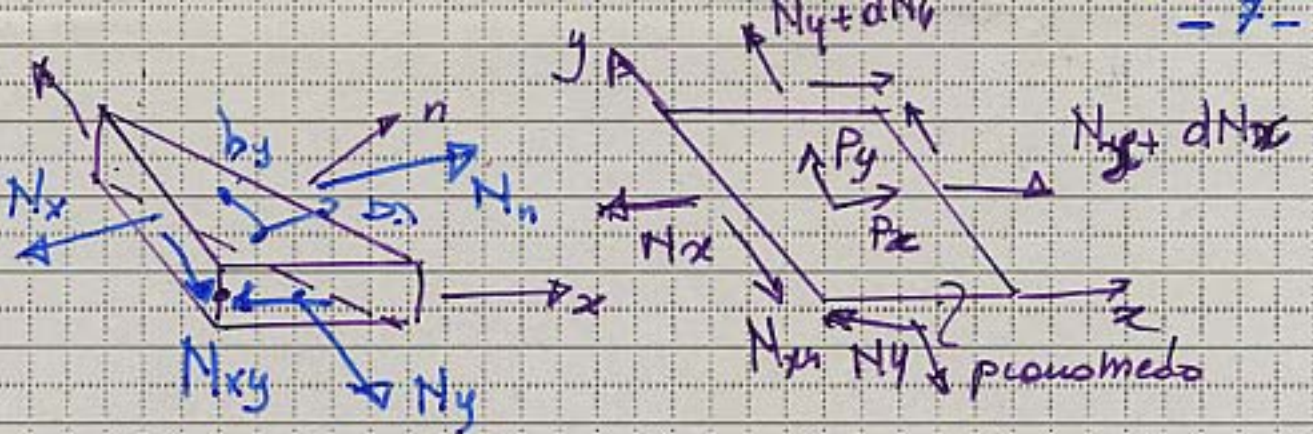
Sforzi membranoli (risultanti nello spessore  $FL^{-1}$ )

$$N_x = \int_{-h/2}^{h/2} \sigma_{xx} dz$$

$$N_y = \int_{-h}^h \sigma_{yy} dz$$

$$M_{xy} = \int_{-h}^h \sigma_{xy} dz$$

Agiscono nel piano medio della lastra



Se si definiscono delle forze di superficie

$$P_x = \int_b^h b_x, \quad P_y = \int_b^h b_y$$

e s'integrandando sulla spessa le eq. indefinite  
di equilibrio o direttamente imponendo l'equilibrio  
dei flotti membranali. si perviene alle relazioni

$$\begin{cases} N_{x,x} + N_{xy,y} + P_x = 0 \\ N_{xy,x} + N_{y,y} + P_y = 0 \end{cases} \quad \left( \frac{\partial N}{\partial x} + p = 0 \right)$$

Infine le variabili congiunte agli flotti di membrane vengono definite mediante il PLV

$$\int_{DA} \left( \sigma_{ij} \epsilon_{ij} dz \right) dz = \int_{DA} N_{ij} e_{ij} dz \Rightarrow$$

$$\bar{e}_x = \frac{1}{h} \int_h E_{xx} dz \quad (\text{valore medio di } e_x \text{ nello spessore})$$

$$\bar{e}_y = \frac{1}{h} \int_h E_{yy} dz \quad \Rightarrow \text{ le eq. constitutive}$$

$$\bar{e}_{xy} = \frac{1}{h} \int_h E_{xy} dz \quad \boxed{N = C e}$$

$$\begin{vmatrix} N_x \\ N_y \\ N_{xy} \end{vmatrix} = \frac{Fh}{1-v^2} \begin{vmatrix} 1 & v & 0 \\ v & 1 & 0 \\ 0 & 0 & \frac{1-v}{2} \end{vmatrix} \cdot \begin{vmatrix} e_x \\ e_y \\ e_{xy} \end{vmatrix}$$

$$\text{ove } C = h \cdot C$$

si confronti con  $\sigma_{ij} = C_{ijkl} e_{ij}$   
(intromissione)  
 $C = C(x, h, v, t)$

# Formulazione del pb piano mediante la funzione di sforzo o di $(\sigma_{xy})$

Mentre i metodi numerici sono in genere basati sul metodo degli spostamenti alcune soluzioni di notevole interesse possono essere derivate & particolarizzando al caso piano le eq. di Beltrami-Michell (Canali vol I pp 222-225)

Si omette per semplicità la derivazione, nel caso generale si perviene alle seguenti eq. di congruenza con termini di sforzi:

$$\nabla_2 (\sigma_x + \sigma_y) = \frac{\partial^2 \sigma_x}{\partial x^2} + \frac{\partial^2 \sigma_y}{\partial y^2} + \frac{\partial^2 \tau_{xy}}{\partial x \partial y} = -K \left( \frac{\partial b_x}{\partial x} + \frac{\partial b_y}{\partial y} \right)$$

con  $K = \frac{1}{1+V}$  p. piano di deformazione  
 $K = 1+V$  n. di tensione

(ovviamente si ottiene una -eq in  $N_y$  con al posto di  $b_y$  Belluzzi vol III)

Se le forze di volume  $b$  sono costanti in A il II membro si annulla ed i 2 problemi piano vengono descritti dalle equazioni

Eq di congruenza

$$\nabla_2 (\sigma_x + \sigma_y) = 0 \quad (\text{che non dipende dal ed molto dalle eq. di equilibrio coe. di Poisson } \nu)$$

$$\begin{cases} \frac{\partial \sigma_x}{\partial x} + \frac{\partial \tau_{xy}}{\partial y} + b_x = 0 & \text{in A} \\ \frac{\partial \tau_{xy}}{\partial x} + \frac{\partial \sigma_y}{\partial y} + b_y = 0 & \text{(nel compo)} \end{cases} \quad \begin{cases} \sigma_x n_x + \tau_{xy} n_y = f_x & \text{sul A} \\ \tau_{xy} n_x + \sigma_y n_y = f_y & \text{(al bordo)} \end{cases}$$

# -8 bis-

## FUNZIONE DI SFORZO o di Airy

- Si formula il pb in termini di una sola funzione scalare  $\varphi = \varphi(x, y)$
- Pb con soli nelle sole forze  $\partial A_4 = 0 \Rightarrow \partial A = \partial A_F$   
Per semplicità si discute il solo pb piano di deformazione. La derivazione è analoga anche se più semplice della derivazione ep. di Beltrami - M.

Eq. di congruenza di St. Venant

$$\textcircled{1} \quad \frac{\partial^2 \gamma_{xy}}{\partial x \partial y} = \frac{\partial^2 \varepsilon_x}{\partial y^2} + \frac{\partial^2 \varepsilon_y}{\partial x^2} \quad \Rightarrow$$

via eq. costitutive, ovvero sostituendo 2 in 1

$$\textcircled{2} \quad \sigma_x = \frac{E}{(1+v)(1-v)} [1-v(\varepsilon_x) + v\varepsilon_y] \quad \sigma_y = \dots, \quad \tau_{xy} = \frac{E}{2(1+v)} \gamma_{xy} \quad G$$

$$\textcircled{3} \quad \frac{\partial^2 \tau_{xy}}{\partial x \partial y} = \frac{\partial^2 \sigma_x}{\partial y^2} + \frac{\partial^2 \sigma_y}{\partial x^2} - v \left[ \frac{\partial^2 (\sigma_x + \sigma_y)}{\partial x^2} + \frac{\partial^2 (\sigma_x + \sigma_y)}{\partial y^2} \right]$$

$\Rightarrow$  sommando ad entrambi i membri di 3  $\frac{\partial^2 \sigma_x}{\partial x^2} + \frac{\partial^2 \sigma_y}{\partial y^2}$

$$\textcircled{4} \quad \nabla_2 (\sigma_x + \sigma_y) = k \left( \frac{\partial^2 \sigma_x}{\partial x^2} + \frac{\partial^2 \sigma_y}{\partial y^2} + \frac{2 \partial^2 \tau_{xy}}{\partial x \partial y} \right)$$

$\Rightarrow$  derivando le eq. indipendente da eq  $\frac{\partial \sigma_x}{\partial x} + \frac{\partial \tau_{xy}}{\partial y} + b_x = 0 \sim$

$$\textcircled{5} \quad \nabla_2 (\sigma_x + \sigma_y) = K \left( \frac{\partial b_x}{\partial x} + \frac{\partial b_y}{\partial y} \right)$$

ove  $K = \frac{1}{1-v}$  pb piano di def.

$K = 1+v$   $\rightarrow$  di tensione

$\Rightarrow$  maneggiare forze  
di volume ( $b=0$ )

$$\textcircled{6} \quad \boxed{\nabla_2 (\sigma_x + \sigma_y) = 0 \quad \text{in } A}$$

Si introduce una funzione  $\varphi(x, y)$ , sulle regole, detta funzione (o potenziale) di sforzo o funzione di Airy t.c.:

$$\sigma_x = \frac{\partial^2 \varphi}{\partial y^2}, \quad \sigma_y = \frac{\partial^2 \varphi}{\partial x^2}, \quad \tau_{xy} = -\frac{\partial^2 \varphi}{\partial x \partial y} - b x y - b y x$$

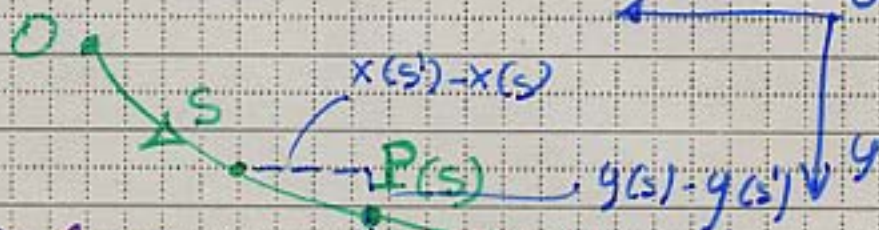
questa posizione zeri le eq. di equilibrio  
indeterminate (in A) identicamente soddisfatte  
come è immediato verificare per sostituzione  $\Rightarrow$   
la soluzione si ottiene risolvendo l'eq. biormonica  
o di Laplace

$$\boxed{\nabla_a^4 \varphi = \frac{\partial^4 \varphi}{\partial x^4} + 2 \frac{\partial^4 \varphi}{\partial x^2 \partial y^2} + \frac{\partial^4 \varphi}{\partial y^4} = 0 \text{ in } A}$$

con condizioni al bordo del tipo

$$\varphi = F(f_x, f_y) \quad \text{sal. bordo } \partial A$$

$$\frac{\partial \varphi}{\partial n} = G(f_x, f_y)$$



In particolare se in avanso di fase di  $t = \frac{ny}{nx}$  delle risultante delle forze  
volume  $V$  la componente  $T(s)$  in direzione della tang.  $t$  in P esterno  
è definita come:

$$T(s) = -R_x(s)n_y + R_y(s)n_x \quad \text{ove } R_x \text{ ed } R_y \text{ sono}$$

d'altra parte oletto  $M(s)$  <sup>tegnere</sup> le risultanti di  $f$   
il momento rispetto a  $P$  dell'elio:

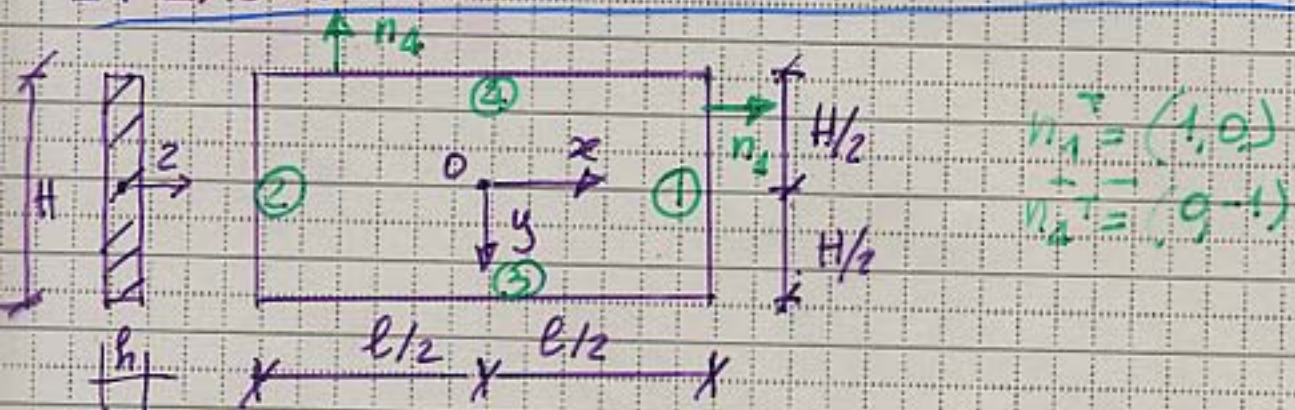
$$M(s) = R_x(s)y - R_y(s)x + \int_s^S (f_x y - f_y x) ds'$$

In assenza di forze di volume le formulazione  
in termini dello sforzo  $\varphi$  si viene quindi:

$$\begin{cases} \nabla^4 \varphi = \frac{\partial^4 \varphi}{\partial x^4} + \frac{\partial^4 \varphi}{\partial y^4} + 2 \frac{\partial^4 \varphi}{\partial x^2 \partial y^2} = 0 & \text{in A} \\ \varphi(s) = H(s) & \text{sul A} \\ \frac{\partial \varphi(s)}{\partial n} = -T(s) & \end{cases}$$

Questa formulazione ben si presta a soluzioni per sezioni  
non edesse offerto via e.f.

### LA LASTRA RETTANGOLARE caricata NEL SUO PIANO



Le eq. di equilibrio al bordo  $\Rightarrow$

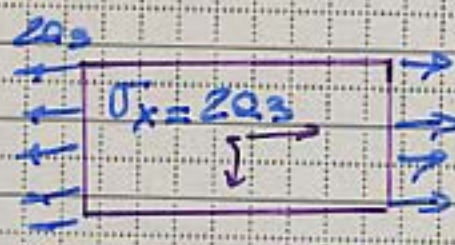
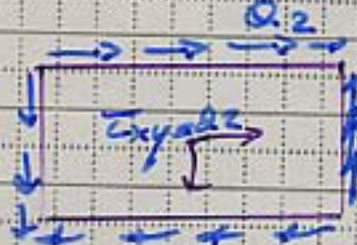
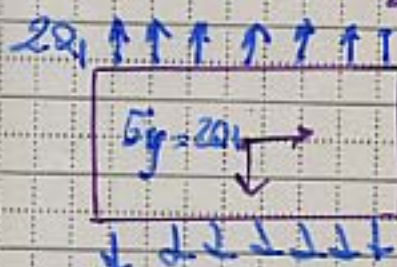
$$x = \pm \frac{l}{2}, f_x = \pm \sigma_x, f_y = \pm \tau_{xy}$$

$$y = \pm \frac{H}{2}, f_x = \pm \tau_{xy}, f_y = \pm \sigma_y$$

I. La più semplice  $\varphi \Rightarrow \sigma_y \neq 0$  è quadratico

$$\varphi(x, y) = \alpha_1 x^2 + \alpha_2 xy + \alpha_3 y^2$$

$$\Rightarrow \sigma_x = \frac{\partial \varphi}{\partial x} = 2\alpha_3, \sigma_y = \frac{\partial \varphi}{\partial y} = 2\alpha_1, \tau_{xy} = \frac{\partial \varphi}{\partial xy} = \alpha_2$$



## II q. Cubica

Mentre una f. q. di Arzy quadratica è un grado di rappresentare uno stato di tensione ( $\sigma_{ij} \dots$ ) costante mediante i termini del 3° ordine si può cogliere uno stato di tensione linearmente variabile. L'espressione generale può essere scritta come

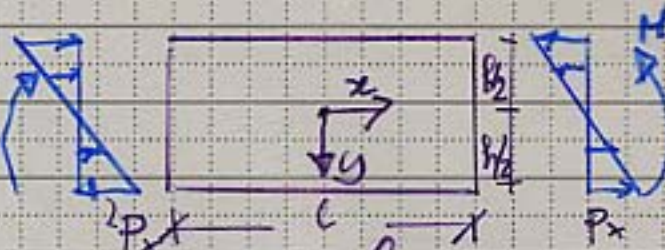
$$\varphi(x, y) = b_1 x^3 + b_2 x^2 y + b_3 x y^2 + b_4 y^3$$

$$\rightarrow \left\{ \begin{array}{l} \sigma_x = \frac{\partial^2 \varphi}{\partial y^2} = 2b_3 x + 6b_4 y \\ \sigma_y = \frac{\partial^2 \varphi}{\partial x^2} = 6b_1 x + 2b_2 y \end{array} \right.$$

$$\tau_{xy} = -\frac{\partial^2 \varphi}{\partial x \partial y} = -2(b_2 x + b_3 y)$$

a)  $\sigma_x$  variabile linearmente in  $y$  ( $\sigma_y = \tau_{xy} = 0$ )

$$\rightarrow b_1 = b_2 = b_3 = 0 \quad b_4 \neq 0 \rightarrow \boxed{\sigma_x = 6b_4 y}$$



Si tratta della sol. di Novier  
della flessione costante

b)  $\sigma_y$  var. linearmente in  $y$   $b_1 = b_3 = b_4 = 0 \quad b_2 \neq 0$

$$\sigma_x = 0, \quad \boxed{\sigma_y = 2b_2 y}, \quad \boxed{\tau_{xy} = -2b_2 x}$$

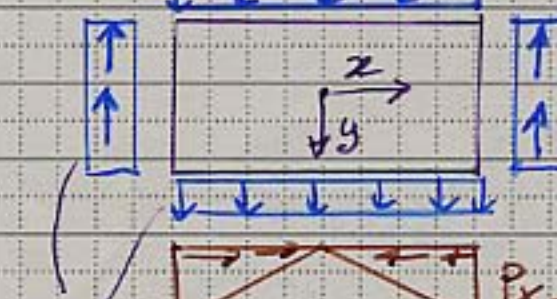


$$P_x = 2b_2 x, \quad P_y = b_2 h$$

In Fig. si sono rapp. le  
fraz. omogenee al bordo  $\bar{P}_i$

$$\left\{ \begin{array}{l} \sigma_x n_x + \tau_{xy} n_y = \bar{P}_x \\ \sigma_y n_y + \tau_{xy} n_y = \bar{P}_y \end{array} \right.$$

ai lati orizzontali:  $n_x = 0, n_y = -1, +1$   
ai lati verticali:  $n_y = 0, n_x = -1, +1$



$$P_x = 2b_2 x$$

I due restanti con:  $b_1 \neq 0$ , e  $b_3 \neq 0$  compongono  
solamente uno cambio fra  $x$  e  $y$  -

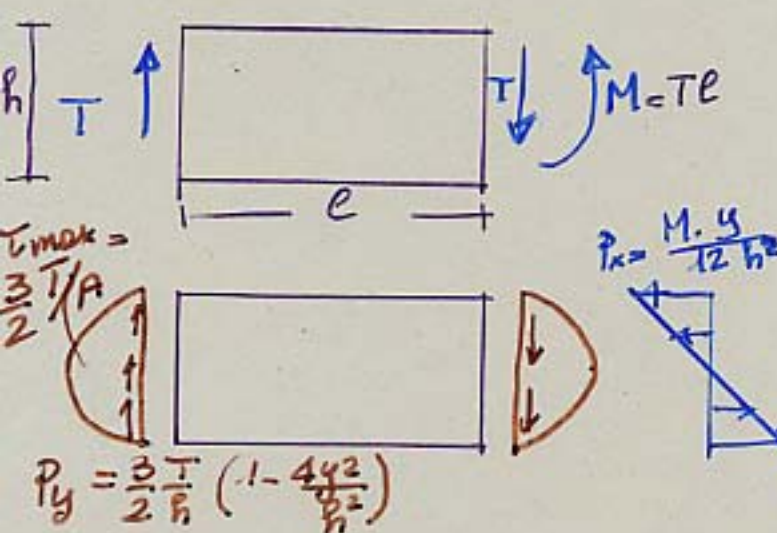
- 11 -  
bis

utilizzando polinomi di 4° grado si ottengono soluzioni quadratiche nelle tensioni, di 5° grado cubiche etc. Il principio di sovrapposizione degli effetti consente di costruire mediante combinazione lineare dei risultati i campi tensionali e le forze  $\bar{P}$  desiderate.

Si rimanda al testo citato di L. Cavigli per le trattazioni estese. Si intende nel seguito discutere i casi importanti per le loro implicazioni.

### III Flessione e Taglio di una lastra rettangolare (spanne $b=1$ )

(p. piano di tensione)



Dalle comb. delle soluzioni

polinomiali del II°, III°, IV° si ottiene

$$\varphi(x, y) = \frac{T}{h} \left( -\frac{3xy}{2} + \frac{b}{h^2} y^3 + \frac{2}{h^2} xy^2 \right)$$

$$\Rightarrow \begin{cases} \sigma_x = 6 \frac{T}{h} \cdot \frac{y}{h^2} (l+2x) \\ \sigma_y = 0 \end{cases}$$

$$T_{xy} = \frac{3}{2} \frac{T}{h} \left( 1 - 4 \frac{y^2}{h^2} \right)$$

La soluzione riportata

concorda con quella visto a S.d.C., ed è valido, indipendentemente dalle effettive distribuzione delle tensioni  $\sigma_x$  e  $\sigma_y$  applicate alle basi estreme, a una certa distanza dalle basi.

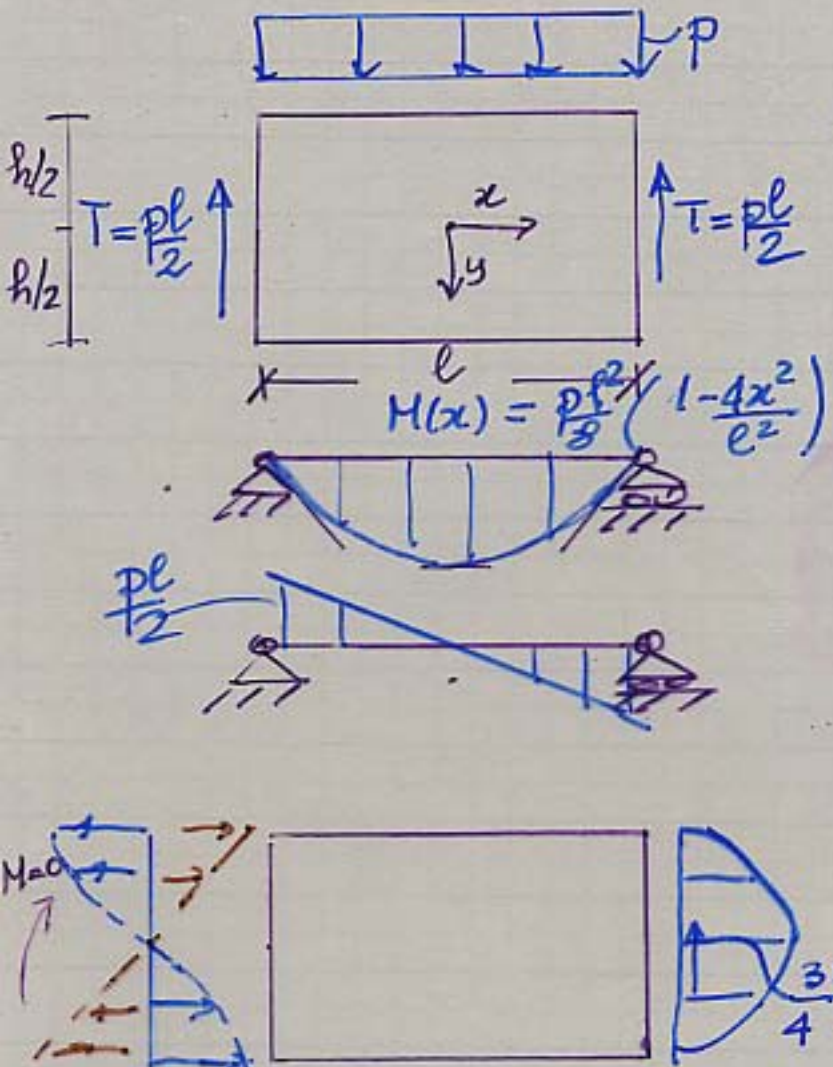
La misura del termine del IV° ordine  $\frac{2}{h^2} xy^3$   
(ora esp. costitutiva)  
comporta la misura del termine

$$M_z = \left( -\frac{2}{h^2} \frac{T}{h} \right) \cdot \frac{6}{E} Vyz \rightarrow \text{VIOLAZIONE DELLA CONGRUENZA}$$

N.B. A S.d.C. la soluzione di Souravsky è stata derivata in modo approssimato, con sole considerazioni di equilibrio, ed ovviamente → la stessa violazione della congruenza.

#### - 12 -

## IV LAstra Rettangolare soggetto ad carico uniformemente distribuito (o trave alta)



Si assume il pol. di 5° grado

$$\varphi = p \left( -\frac{1}{4} \frac{x^2}{h^3} + \frac{3}{4} \frac{x^2 y}{h^3} - \frac{1}{5} \frac{x^2 y^3}{h^3} + \frac{1}{5} \frac{y^5}{h^3} \right) + \frac{1}{4} \frac{p l^2}{h^3} \left( 1 - \frac{2 h^2}{5 l^2} \right) y^3$$

ove il termine  $cy^3$  viene sommato per soddisfare  $M=0$  agli estremi.

$$\Rightarrow \begin{cases} \sigma_x = \frac{2p}{h^3} (2y^3 - 3x^2 y) \\ -6y \frac{p l^2}{h^3} \left( 1 - \frac{2h^2}{5l^2} \right) \\ \sigma_y = \frac{p}{2} \left( -1 + 3 \frac{y}{h} - 4 \frac{y^3}{h^3} \right) \\ \tau_{xy} = -6 \frac{p x}{h^3} \left( \frac{h^2}{4} - y^2 \right) \end{cases}$$

Ricordando che

$$M(x) = \int_{-h/2}^{h/2} y \cdot \sigma_x dy = \frac{p l^2}{8} \left( 1 - \frac{4x^2}{l^2} \right), \quad \bar{\sigma}_x = \int_{-h/2}^{h/2} \tau_{xy} dy = -px$$

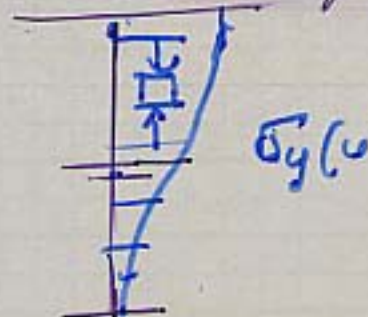
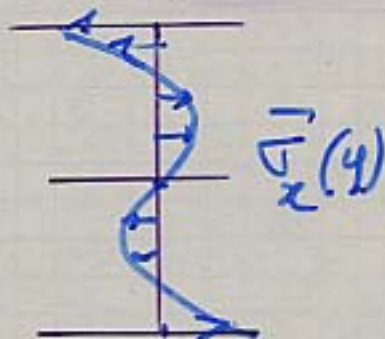
$$\rightarrow \begin{cases} \sigma_x = 12 \frac{M(x)}{h^3} \cdot y + \boxed{p \left( 4 \frac{y^3}{h^3} - \frac{3y}{5h} \right)} = \sigma_x^{\text{NAVIER}} + \bar{\sigma}_x \\ \bar{\tau}_{xy} = 6 \frac{\bar{\sigma}_x}{h} \left( \frac{1}{4} - \frac{y^2}{h^2} \right) \end{cases}$$

La suddivisione operata è giustificata poiché il 1° termine contribuisce al momento flettente  $\bar{\sigma}_x$  (corrisponde ad uno stato di carico  $(M=N=0)$ ) indipendentemente da

Sono inoltre presenti le tensioni (indip. da x)

$$\bar{\sigma}_y = \frac{P}{2} \left( -1 + \frac{3y}{H} - 4 \frac{y^3}{H^3} \right)$$

Eseguendo le fibre indirette y,  $\bar{\sigma}_y = P$  (b.c. di Cauchy) al lembo superiore e si annullano a quelle inferiori



$\bar{\sigma}_x$  è uno stato di coazione consispondente a sforzo Normale e Momento nulli.

$\bar{\sigma}_y$  è indipendente da x e posta del volto P annullandosi al lembo inferiore

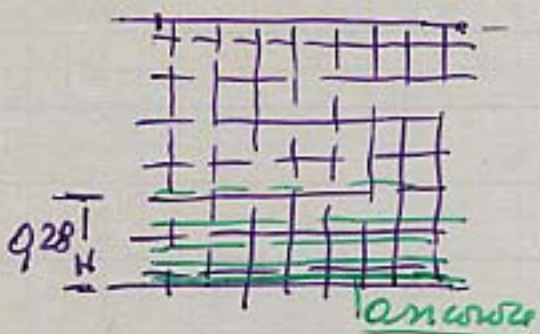
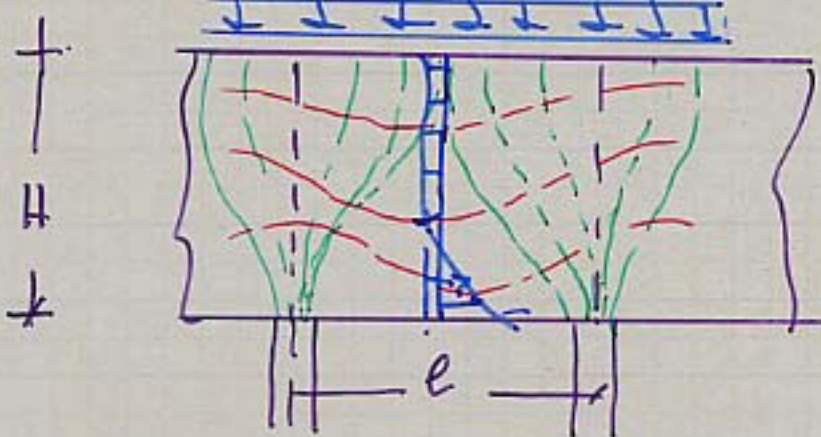
La soluzione è "esatta" a partire da una certa distanza dagli estremi.

$$|\bar{\sigma}_x^M|_{\max} \text{ (caso } y = \frac{H}{2}) = P \frac{3l^2}{4H^2}$$

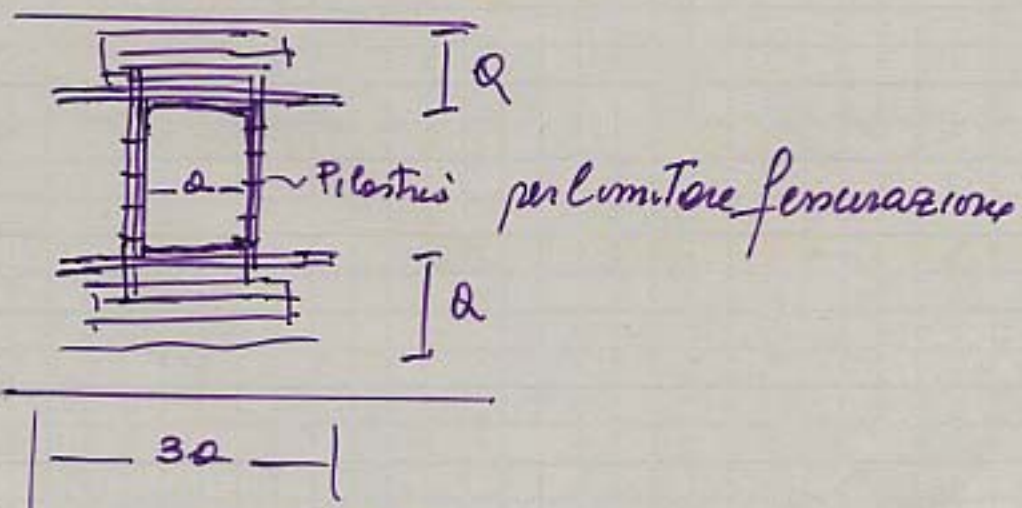
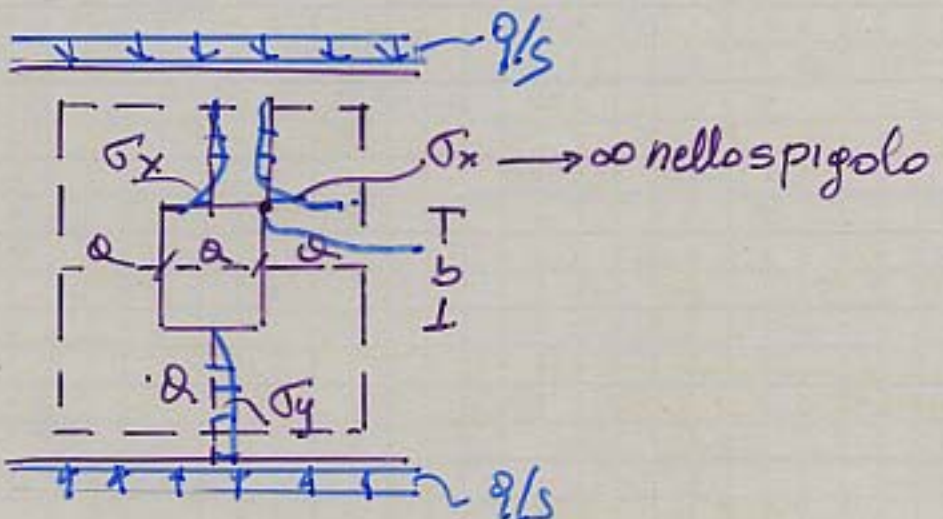
$$\frac{|\bar{\sigma}_x|_{\max}}{|\bar{\sigma}_x^M|_{\max}} = \frac{4}{15} \left( \frac{H^2}{l^2} \right), \quad \frac{|\bar{\sigma}_y|_{\max}}{|\bar{\sigma}_x^M|_{\max}} = \frac{4}{3} \left( \frac{H}{l} \right)^2$$

già per  $l/H = 5$  i 2 contributi valgono  $\approx 9,01$  e  $9,05$  per poi diminuire rapidamente.

Per l'ovvia è giustificata la soluzione tecnica  
Vista a S.d.C



## TRAVE PARETE FORATA



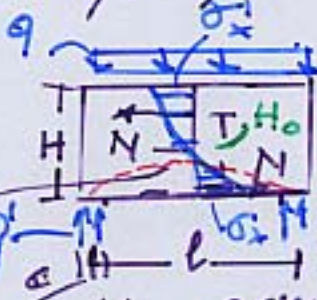
la risultante delle trazioni è circa pari  
 $S \approx 92 q_a$

- 13 -  
14 bis

# TRAVI PARETE SU APPOGGI ISOLATI

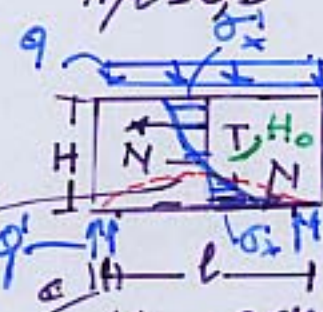
(Pozzati 2xx p. 288)

$$H/e = 0.5$$



$$q' = \frac{qe}{2c}$$

$$q_{\text{ad}} H$$

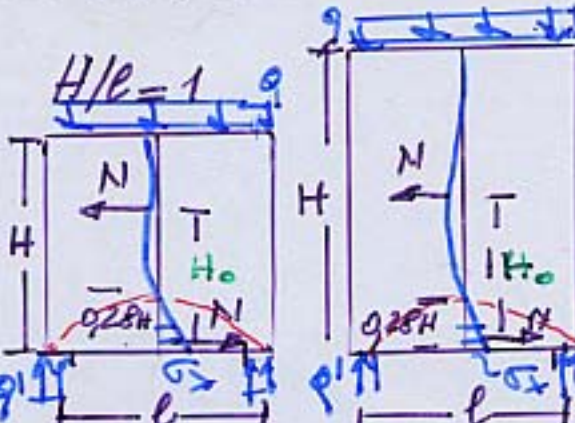


$$H_0 = 0.67H$$

$$N = 0.38qe$$

$$\sigma_x = 4.5 q/s$$

$$\sigma_x \approx 3 q/s$$



$$H/e = 1$$

$$N$$

$$T$$

$$H_0$$

$$N$$

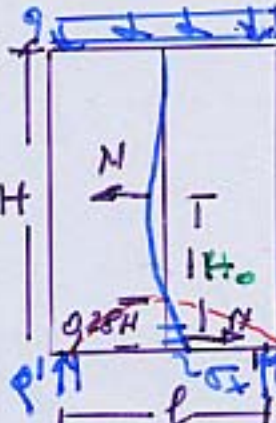
$$T$$

$$H_0$$

$$N$$

$$T$$

$$H_0$$



$$H$$

$$N$$

$$T$$

$$H_0$$

$$N$$

$$T$$

$$H_0$$

$$N$$

$$T$$

$$H_0$$

$$N$$

$$T$$

$$H_0$$

## CALCOLO DELLE ARMATURE

Può essere utilizzato un calcolo elastico standard.

Le armature diffuse (reti) devono essere dimensionate in modo da snocciolare le trazioni.

Calcolo armature tese  $H = e$

Lo sforzo  $S$  è dato da

$$N = S = \frac{M}{0.62 + 1} = \frac{qe^2}{2 \times 0.62 H} \approx 0.2 \frac{qe^2}{H}$$

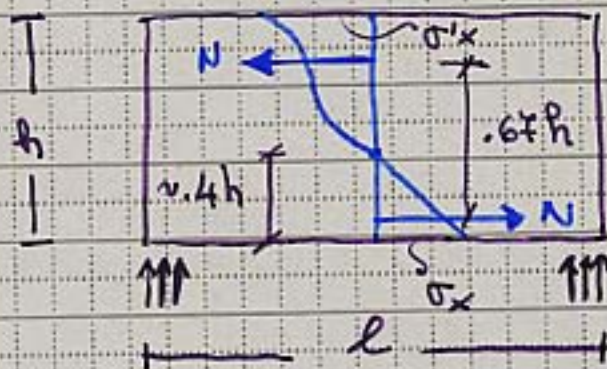
$A_e = S / \sigma_{t0}$  e deve essere distribuito nello spazio oltre  $0.28H$ , oviamente più addossata all'introdosso. Deve essere mantenuta costante e adeguatamente ancorata agli appoggi.

In genere non ci sono pb. a taglio.

Per  $H \geq e$  verifica di presuramento agli appoggi.

$\downarrow \downarrow \downarrow$

13 bis



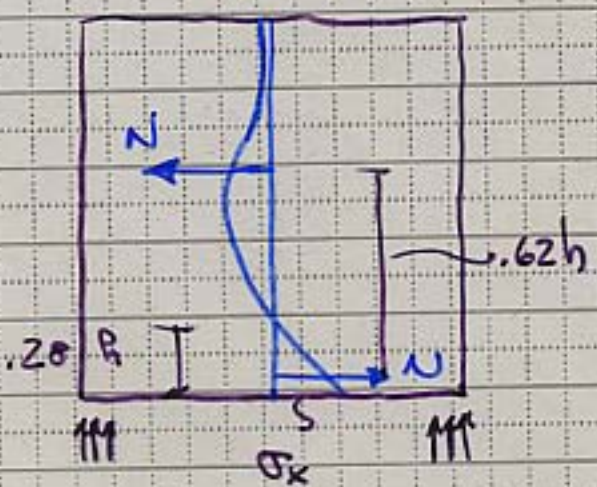
$$h/e = 0.5$$

$$N = -38.9e$$

$$\sigma_x = 4.5 \text{ g/s}$$

$$\tau_x = -3 \text{ g/s}$$

$\downarrow \downarrow \downarrow \downarrow \downarrow \downarrow \downarrow \downarrow \downarrow \downarrow \downarrow$

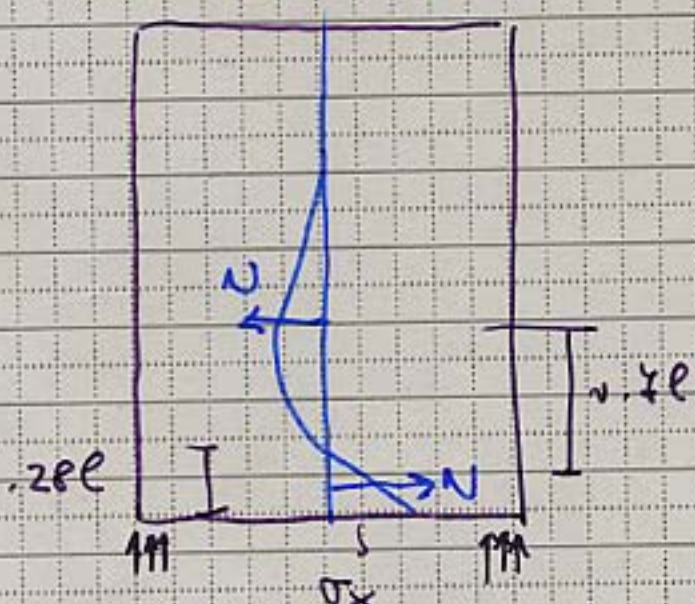


$$h/e = 1$$

$$N = -29e$$

$$\sigma_x = 1.6 \text{ g/s}$$

$\downarrow \downarrow \downarrow \downarrow \downarrow \downarrow \downarrow \downarrow \downarrow \downarrow \downarrow$



$$h/e > 1$$

$$N = -189e$$

$$\sigma_x = 1.6 \text{ g/s}$$

# TRAVI-PARETE CON APPoggIO DIRETTO

→ 14-

Andamento delle inostatiche di trazione molto piatto  $\Rightarrow$   
ARMATURA ORIZZONTALE

- uso di staffe per recinzione armatura di corrente collegamento delle armature orizzontali
- Armatura di corrente per un'altezza d.f.  $0.15 \div 0.20$ )

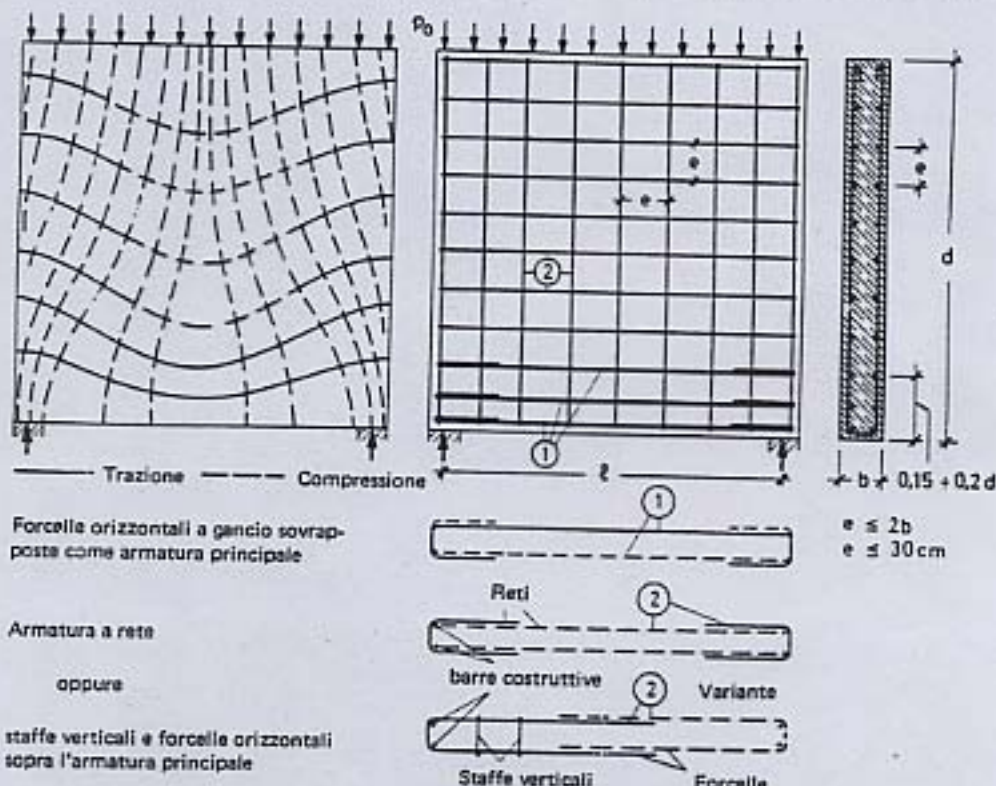
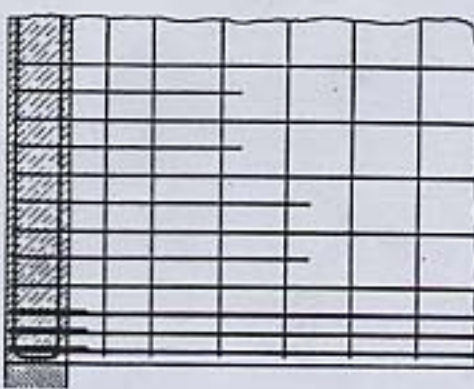
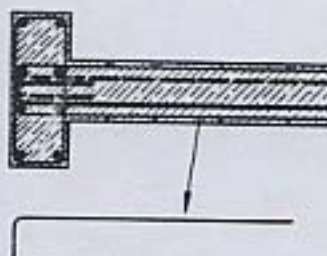


Fig. 12.1: Andamento delle traiettorie delle tensioni principali e armatura di una trave-parete ad appoggio diretto e caricata dall'alto

Vista

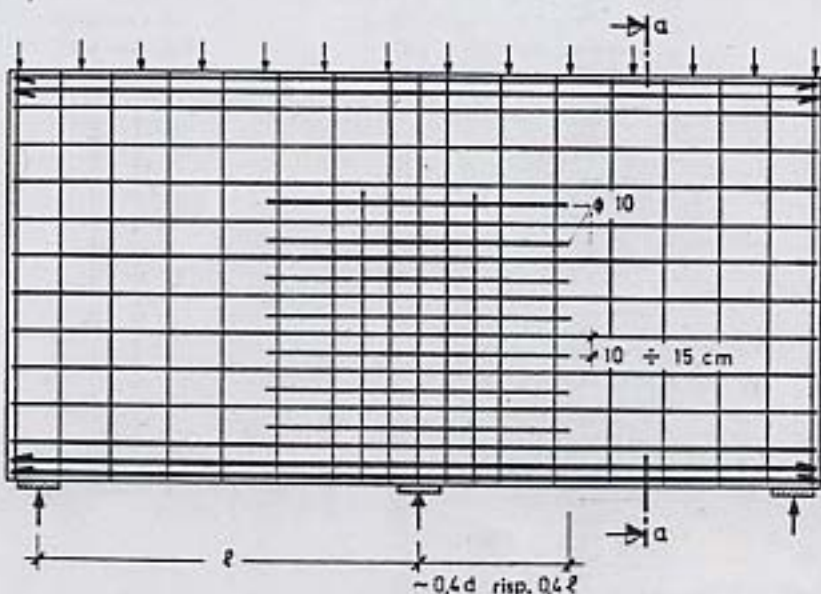
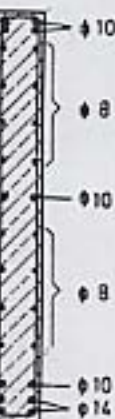
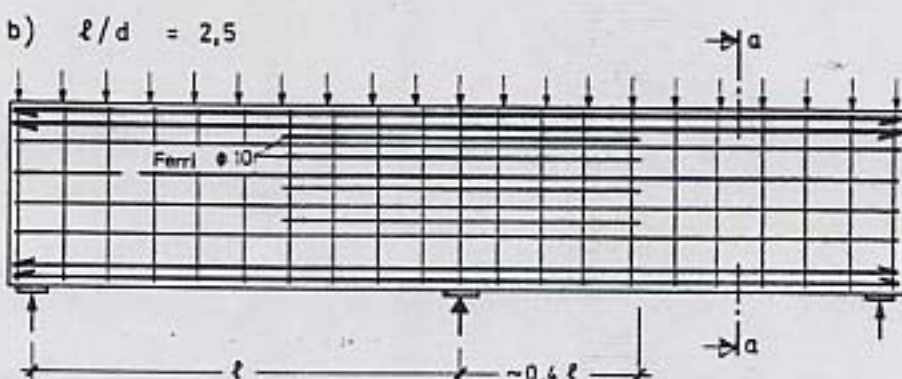
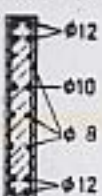


Planta

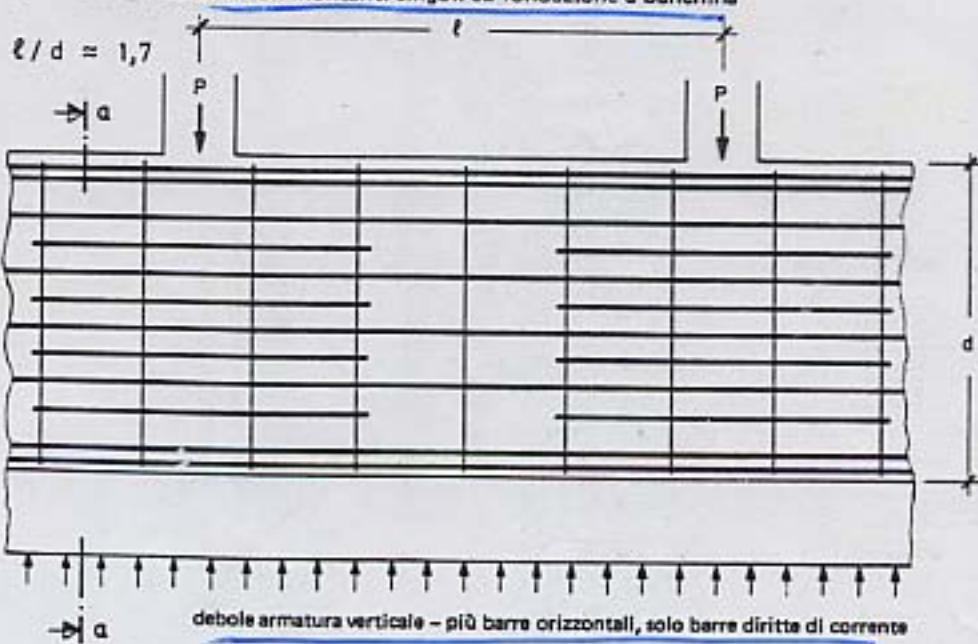


Fili sottili supplementari sopra l'armatura principale

Fig. 12.2: Conformazione dell'armatura nella zona di trasmissione del carico di una trave sec. fig. 12.1, il cui supporto sia rinforzato da pilastri o lesene

*~ 15 bis*a)  $\ell/d = 1$ Sezione a-a  
Esempio dei  $\phi$ b)  $\ell/d = 2,5$ Sezione a-a  
Esempio dei  $\phi$ 

c) Parete di cantina con montanti singoli su fondazione a banchina



Sezione a-a

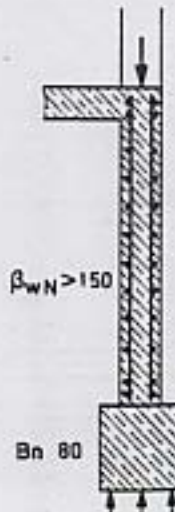
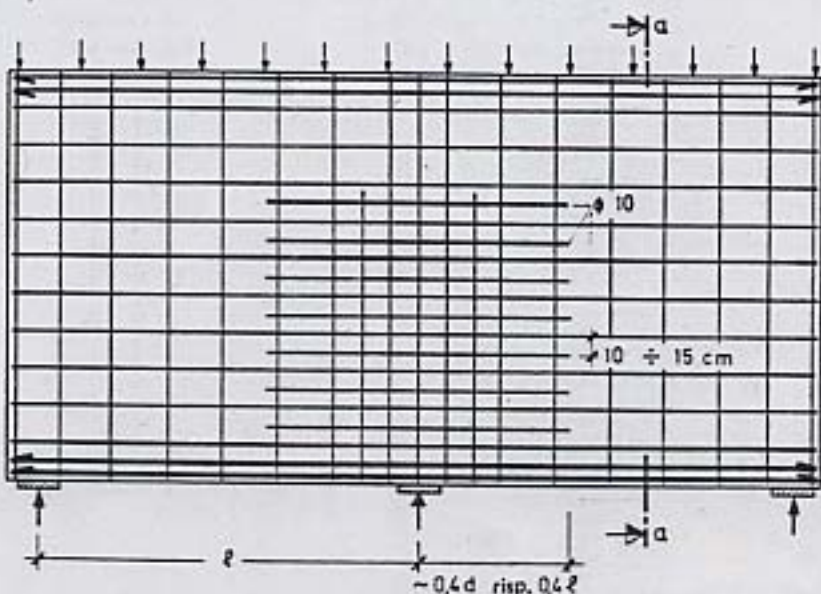
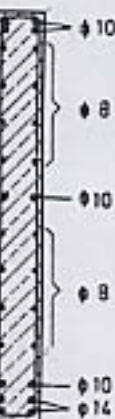
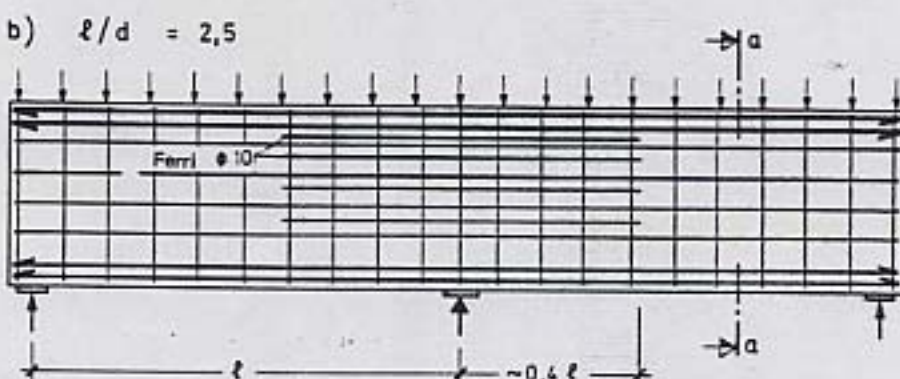


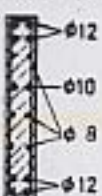
Fig. 12.5: Esempi per l'armatura di travi-parete a più campi

*~ 15 bis*a)  $\ell/d = 1$ 

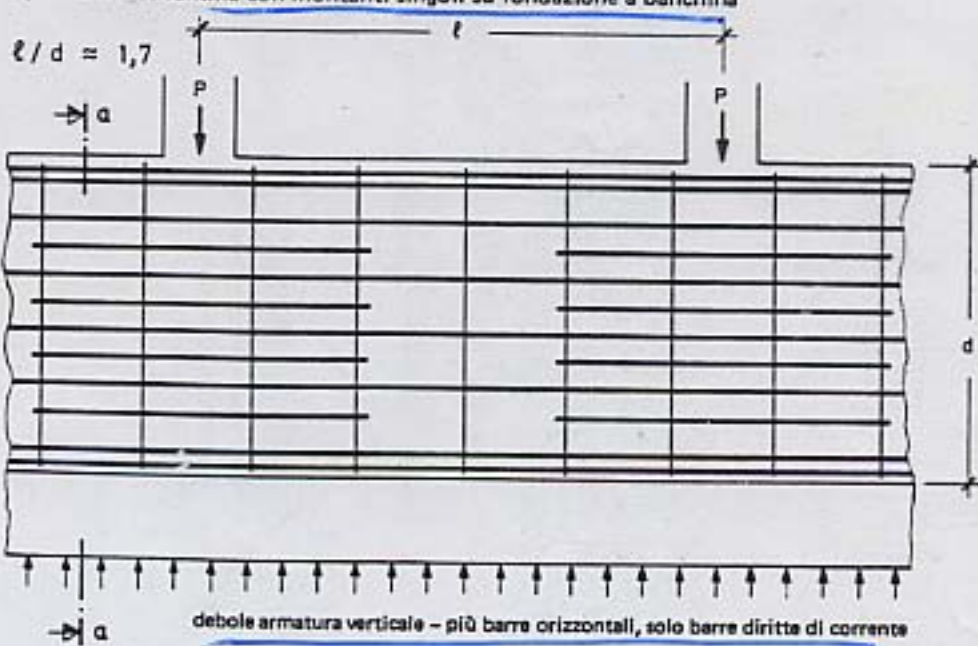
Sezione a-a  
Esempio dei  $\phi$

b)  $\ell/d = 2,5$ 

Sezione a-a  
Esempio dei  $\phi$



c) Parete di cantina con montanti singoli su fondazione a banchina



Sezione a-a

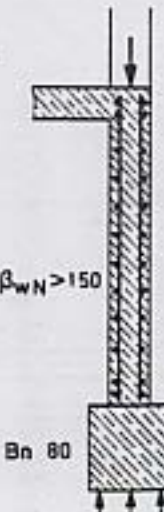


Fig. 12.5: Esempi per l'armatura di travi-parete a più campi

# TRAVI - PARETE a PIU' CAMPI

-15-

andamento anche in questo caso piatto delle isostatiche  
di trazione (ARMATURA ORIZZONTALE)

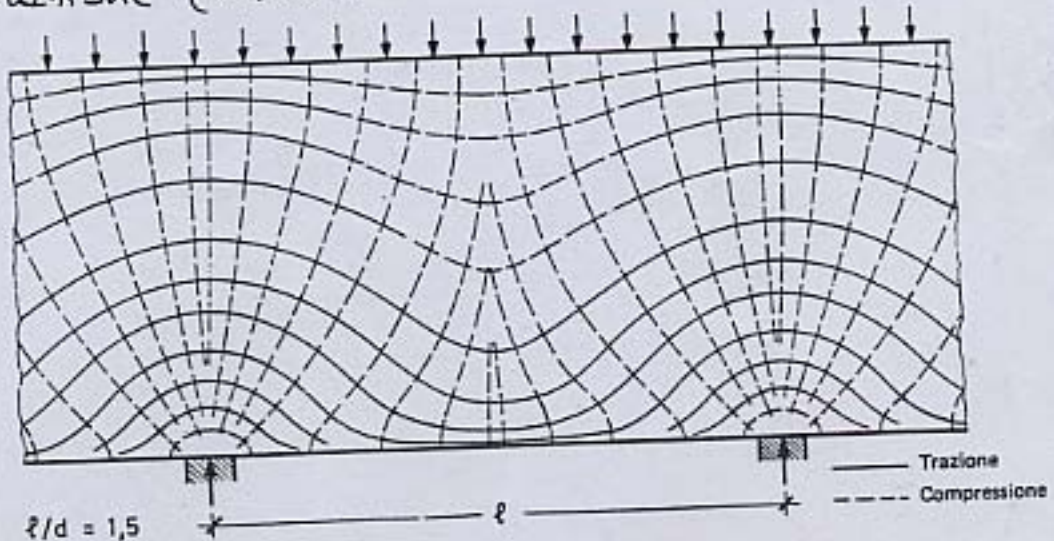


Fig. 12.3: Andamento delle traiettorie delle tensioni principali nella trave-parete a più campi nello stato I con carico applicato dall'alto

Armatura per assorbimento del  $M$  di appoggio cipartita  
in funzione di  $l/d$  sull'intera zona tesa  
+ armatura a rite per  $d/2$

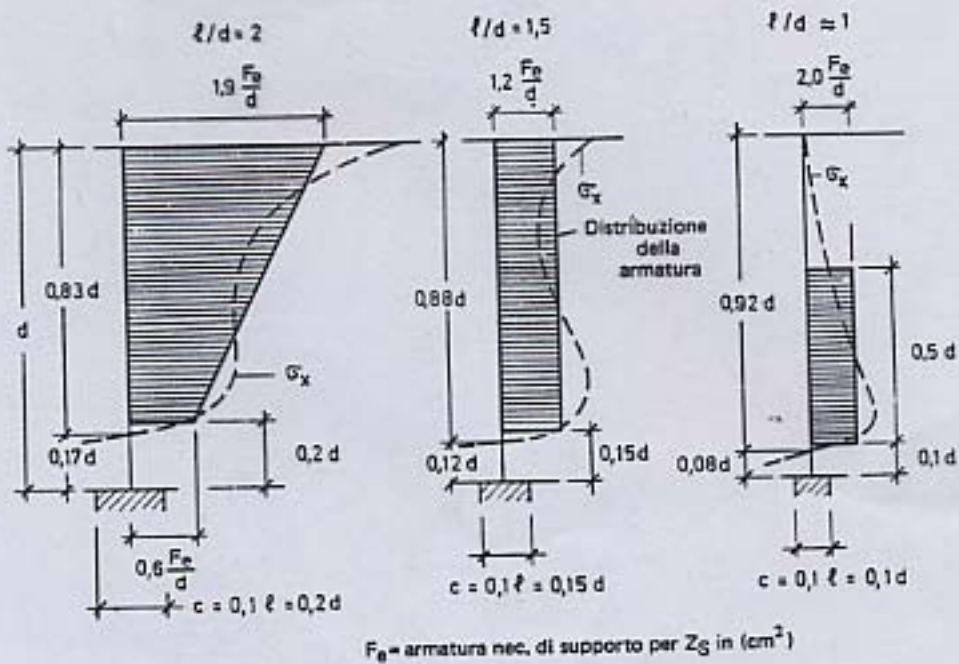
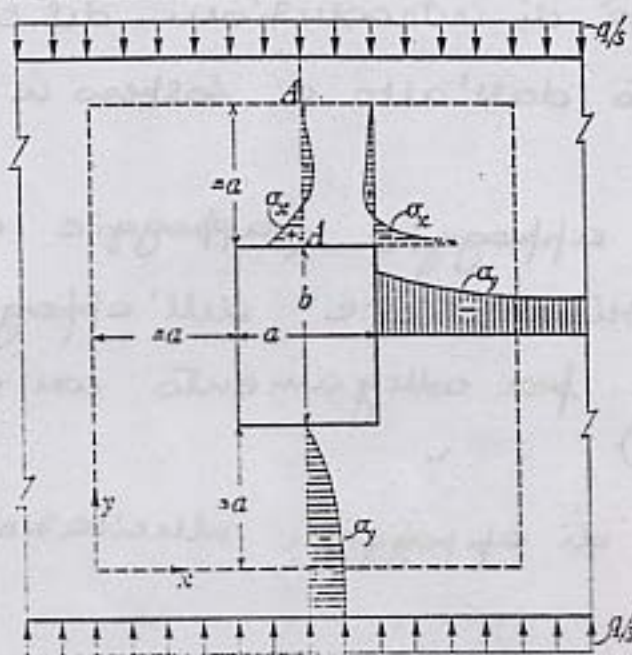


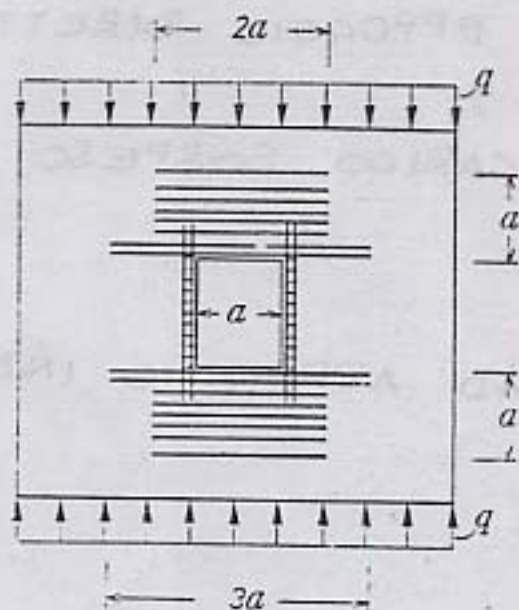
Fig. 12.4: Diagrammi di riferimento per la ripartizione dell'armatura del corrente  
teso su supporti di travi a più campi

$\left\{ \begin{array}{l} \text{se } h/e \leq 1/4 \Rightarrow \text{teoria trave} \\ \text{se } h/e > 1/4 \Rightarrow 2D - \text{TRAVE PARETE} \end{array} \right.$ 
Xfas



Alterazione stato tensionale per presenza del foro

### DISPOSIZIONE ARMATURE



# LASTRE di PARETE a SBALZO CARICATE dall'ALTO

Armatura di corrente su frontale funzione di  $l/d$

Aumento  $\Delta x$

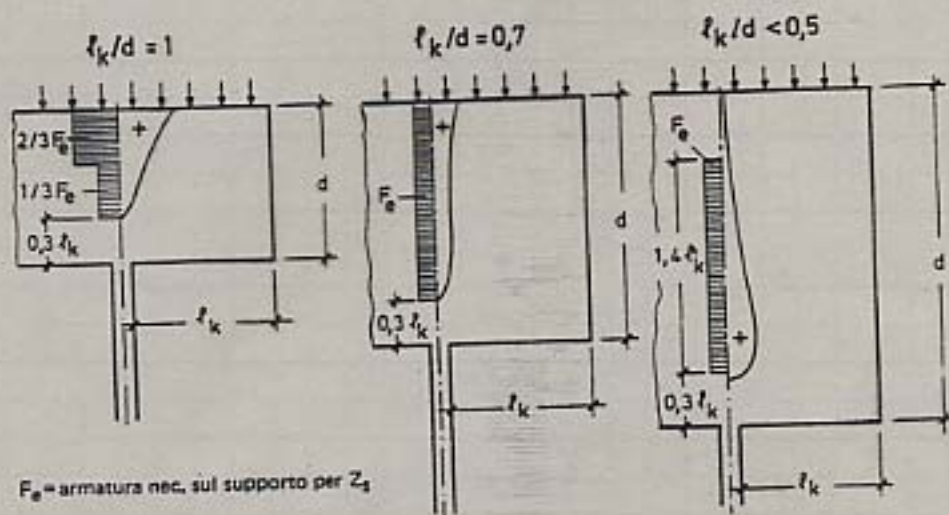


Fig. 12.6: Ripartizione delle tensioni  $\sigma_x$  e distribuzione in altezza dell'armatura di corrente con lastre a sbalzo

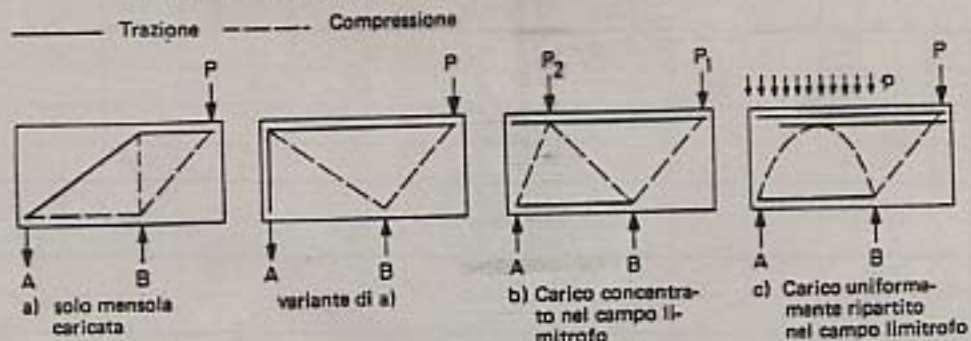


Fig. 12.7: Andamento schematico delle forze in lastre a sbalzo come riferimento per il tracciato dell'armatura (— Trazione ——— Compressione)

MENSOLE TOZZE